

I-디프레닐 투여 후 흰쥐 뇨중 메스암페타민 및 암페타민의 거울상이성질체의 가스크로마토그라피에 의한 분석

김은미[#] · 김선준 · 정희선 · 유영찬

국립과학수사연구소

(Received September 29, 1997)

Gas Chromatographic Analysis of Optical Isomers of Methamphetamine and Amphetamine After Administration of I-Deprenyl(Selegiline) to Rats

Eun Mi Kim[#], Sun Cheun Kim, Hee Sun Chung and Young Chan Yoo
National Institute of Scientific Investigation, Seoul 158-097, Korea

Abstract— Recently, *I*-deprenyl (selegiline), a relative new antiparkinson's drug, has been marketed in Korea. As its metabolites, *I*-methamphetamine and *I*-amphetamine, are the enantiomers of illicit drugs, *d*-methamphetamine and *d*-amphetamine, a method for analysis of enantiomers of methamphetamine and amphetamine in rat urine was investigated. The optical isomers of methamphetamine and amphetamine were analyzed with the chiral derivatizing reagent (S)-(-)-N-(trifluoroacetyl)-prolyl chloride (*I*-TFP), which was used to form the diastereomers of methamphetamine and amphetamine, and all diastereomers (*I*-TFP-*I*-AM, *I*-TFP-*d*-AM, *I*-TFP-*I*-MA & *I*-TFP-*d*-MA) were well resolved by capillary gas chromatography. After administration of 10 mg/kg *I*-deprenyl to rat, *I*-methamphetamine and *I*-amphetamine were detected without autoracemization to the *d* form in all urine samples collected during 24hrs, and the ratios of *I*-amphetamine/*I*-methamphetamine were 1.1~3.3. *I*-Amphetamine was detected in only 3 out of 8 urine samples collected during 24~48 hrs where as no *I*-methamphetamine was detected in all cases.

Keywords □ *I*-deprenyl, optical isomers of methamphetamine and amphetamine, (S)-(-)-N-(trifluoroacetyl)-prolyl chloride, gas chromatography.

파킨슨씨병 치료제인 *I*-deprenyl(selegiline)은 도파민(dopamine: DA)을 대사시키는 주요효소인 monoamine oxidase B(MAO B)를 선택적으로 억제하는 약물^{1~3)}로서, 1996년도에 우리나라에서도 판매가 허용되었다. *I*-Deprenyl은 복용후 생체내에서 N-dealkylation에 의하여 *I*-desmethyldeprenyl과 *I*-methamphetamine(*I*-MA)으로 배설되고, 나아가 *I*-methamphetamine은 *I*-amphetamine(*I*-AM)으로 대사된다 (Fig. 1).⁴⁾

Methamphetamine(MA)은 *d*체 및 *I*체의 거울상이성질체가 존재하며, 약리학적으로 중추신경 흥분작용은 *I*-MA보다 *d*-MA이 훨씬 강하고, 이들의 대사에도 차이가 있다고 보고되어 있다.^{5,6)}

이와 같이 MA의 이성질체에 따른 약리작용이 서로 다르기 때문에 *I*-deprenyl 투여후 검출되는 *I*-MA 및 *I*-AM은 임상적으로 중요한 의미를 갖게 된다. 치료를 목적으로 이 약물을 복용한 사람이 메스암페타민 불법남용자로 오인될 수 있기 때문에 실제 생체시료에서 검출되는 MA이 불법으로 사용되었는지, 아니면 질환의 치료목적으로 사용되었는지를 알기위해서는 생체시료에서 검출되는 이를 대사체에 대한 거울상이성질체를

[#] 본 논문에 관한 문의는 이 저자에게로
(전화) 02-600-2324~5 (팩스) 02-600-2333

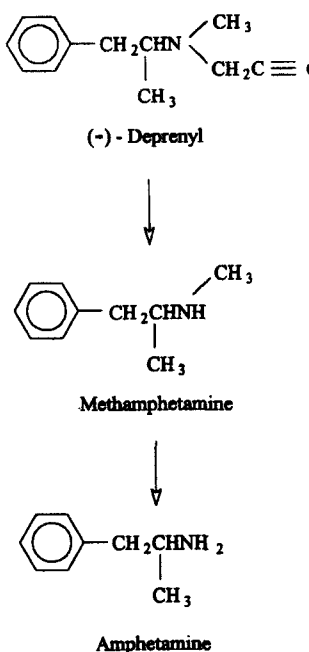


Fig. 1 – The structural formulae of Deprenyl and its metabolites.

분리·확인할 수 있는 분석법의 확립이 요구된다.

그러나 과킨슨씨병 치료제인 *I*-deprenyl이 최근 우리나라에도 판매되기 시작하였음에도 불구하고 현재 이의 대사에 대한 연구가 거의 진행되어 있지 않고, 또한 이들 대사체를 확인·정량하여 불법약물과의 차이점 등에 대하여도 특별히 보고된 바도 아직 없다. 따라서 저자 등은 본 실험에서 *I*-deprenyl을 투여하고 검출되는 대사체를 분석하여 불법 약물 복용과 치료 약물 복용과를 구별하는 시험법을 확립하고자 하였다.

MA의 거울상이성질체의 분석방법으로는 키랄형 칼럼을 사용한 고속액체크로마토그라피(HPLC)에 의한 분석방법,^{7~9)} 키랄형 칼럼을 사용한 가스크로마토그라피(GC)에 의한 분석방법^{10, 11)}과 광학활성을 가진 유도체시약을 사용하여 HPLC 또는 GC에 의한 분석방법 등^{12~18)} 여러 방법이 보고된 바 있으며, 이들 방법들은 MA의 이성체 분석에 커다란 차이는 없는 것으로 알려져 있다. 이중 광학활성을 가진 유도체시약을 이용한 분석법은 유도체화시약의 종류가 많아 선택의 폭이 넓고, 비교적 가격이 싸고, 열에 안정한 고정상을 쓸 수 있다는 장점으로 MA이성체 분석에 많이 이용되고 있어 본 실험에서는 저자 등이 보고한바와 같이¹⁹⁾ (S)-(–)-N-(trifluoroacetyl)-prolylchloride로 MA이성체를 유도

체화 한 후 GC로 분리하는 방법을 이용하였다. 이 방법에 따라 흰쥐에 *I*-deprenyl을 투여하고 뇌중에서 대사체를 분석하여 다음과 같은 결과를 얻었기에 보고하고자 한다.

실험방법

약물 및 시약 – *I*-Deprenyl hydrochloride는 초당약품에서 제공받았으며, 표준품으로 사용한 *d*-amphetamine, *I*-amphetamine, *d*-methamphetamine 및 *I*-methamphetamine과 내부표준물질로 사용한 *dl*-methoxyphenamine은 Sigma제품을 사용하였다. 유도체화 시약 (S)-(–)-N-(trifluoroacetyl)-prolyl chloride(이하 *I*-TFP로 칭함)는 0.1 M의 dichloromethane용액으로 그 함량이 97%인 것을 Aldrich회사제품을 구입하여 사용하였으며, 기타 시약은 특급 시약을 사용하였다.

실험동물 – 실험동물로 사용한 Sprague-Dawley계 흰쥐(수컷)는 식품의약품안전본부에서 생후 5주령의 것을 분양받아 1주일이상 실험실에서 적응시킨 후 사용하였다. 실험 전날 1마리씩 대사케이지에 옮긴후 24시간동안 절식시키고 물만 섭취할 수 있게 한 다음 약물을 투여하였다.

약물투여 및 채뇨 – *I*-Deprenyl hydrochloride를 0.9% 생리식염수에 용해시켜 체중 kg당 10 mg을 1회 경구 투여하고 매 24시간 간격으로 3일간 뇌를 채취하여 분석시료로 하였다.

메스암페타민(MA) 및 암페타민(AM)의 추출 – 뇌 1~2 ml에 내부표준물질인 methoxyphenamine (100 µg/ml in MeOH) 100 µl를 넣고 6N-NaOH 1~2㎕를 가하여 알칼리성으로 한후, ethyl acetate 5 ml를 넣어 추출하여 유기용매층을 취하였다. 여기에 0.25N-H₂SO₄ 2 ml를 넣고 추출하여 유기용매층은 버리고 다시 1N-NaOH 2~3㎕를 가하여 알칼리성으로 한 후 ethyl acetate 5 ml로 추출하여 얻어진 상등액에 0.1% HCl이 함유된 MeOH 1~2㎕를 가하고 40°C이하에서 감압농축하였다.

유도체화 과정 – 유도체화 과정은 전보의 방법¹⁹⁾과 같이, 뇌에서 추출한 잔사에 50 µl의 chloroform과 50 µl의 *I*-TFP를 가한후 85~90°C에서 10분간 반응시켰다. 반응액을 질소가스로 증발건고시키고 2% NaHCO₃액 0.5 ml를 넣고 미반응의 *I*-TFP를 제거한

후 ethylacetate 200 μl 로 추출하여 얻어진 상층액을 GC 및 GC-MS 분석용 시료로 하였다.

기기 및 분석조건 – 가스크로마토그라피는 FID가 장착된 도남시스템의 DS-6200을 사용하였으며 칼럼은 AT-35(15 m \times 0.53 mm I.D.)을 이용하였고, 오븐온도는 150°C에서 1분간 머무르고 200°C까지 10°C/min로 올린 후 2분간 머무르고 210°C까지는 2°C/min로 올리고 다시 25°C/min로 270°C까지 올렸다. 시료용액 중 1~2 μl 를 GC에 주입하였으며 splitless mode로 30초간 purge시켰다. GC-MS는 Finigan Mat GCQ를 사용하였고 칼럼은 DB-5(15 m \times 0.32 mm I.D.)를 사용하였으며 EI mode로 70 eV에서 이온화시켰다. 오븐온도는 150°C에서 4분간 머무르고 220°C까지 5°C/min로 올린 후 다시 25°C/min로 270°C까지 올렸다

검량선의 작성 – *d*- 및 *l*-MA, AM을 MeOH에 녹여 1 mg/ml로 하여 표준원액으로 하였다. 이것을 다시 MeOH로 희석하여 100 $\mu\text{g}/\text{ml}$ 로 한 것을 표준용액으로 하였다. 검량선은 *l*체의 MA 및 AM과 *d*체의 MA 및 AM으로 나누어 작성하였다. 즉, 표준용액으로부터 *l*체의 MA 및 AM과 *d*체의 MA 및 AM이 각각 0.5, 1, 5 및 10 μg 이 되도록 취하여 내부표준물질을 넣어 농축하고 전술한 방법으로 유도체화한 후 GC에 주입하여 검출되는 표준물질의 피크를 내부표준물질에 대한 면적비로서 검량선을 작성하였다.

결과 및 고찰

검량선 – *l*-AM, *l*-MA 및 *d*-AM, *d*-MA의 *l*-TFP 유도체들은 전술한 GC 조건에서 검출시간이 각각 8.1분, 11.3분 및 8.5분, 11.8분으로 양호하게 분리되었

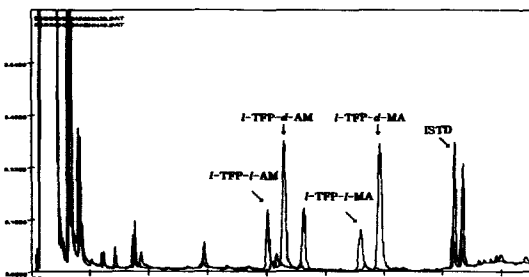


Fig. 2 – Gas chromatogram of diastereomers by reaction of N-trifluoroacetyl-L-prolyl chloride (TFP) with *l*- and *d*-amphetamine (AM) and *l*- and *d*-methamphetamine (MA).

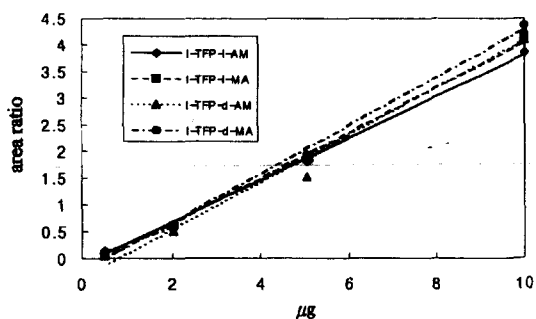


Fig. 3 – Calibration curves of *l*-TFP derivatives of *l*- and *d*-amphetamine and *l*- and *d*-methamphetamine.

으며, 내부표준물질인 methoxyphenamine은 라세미체(*dl*)이므로 *l*-TFP로 유도체화 시키면 14.3분 및 14.6분에서 두 개의 피크로 나타나는데 본 실험에는 14.3분 것을 내부표준물질로 사용하였다. Fig. 2는 *l*-TFP유도체화한 표준품 *l*체의 AM 및 MA과 *d*체의 AM 및 MA의 chromatogram이다.

시료량 0.5~10 μg 범위에서 *l*-TFP-*l*-AM은 $Y = 0.3923 \cdot X - 0.1088$ ($r = 0.9992$), *l*-TFP-*d*-AM은 $Y = 0.4481 \cdot X - 0.3553$ ($r = 0.9868$), *l*-TFP-*l*-MA는 $Y = 0.4245 \cdot X - 0.1971$ ($r = 0.9984$), *l*-TFP-*d*-MA는 $Y = 0.4537 \cdot X - 0.2374$ ($r = 0.9968$)으로 양호한 직선성의 검량선을 얻었다(Fig. 3).

MA 및 AM의 검출 및 GC-MS에 의한 확인 – 쥐에게 *l*-deprenyl 10 mg/kg 경구투여한 후 처음 24시간동안 채취한 뇌와 blank 뇌를 추출하여 *l*-TFP유도체화하고 GC로 분석한 결과를 Fig. 4에 나타내었다. 8.1분과 11.3분에서 *l*-TFP-*l*-AM 및 *l*-TFP-*l*-MA의 피크가

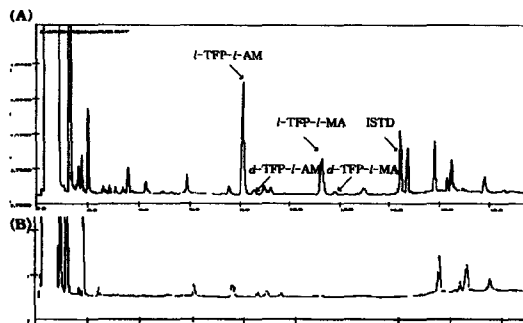


Fig. 4 – GC chromatograms N-trifluoroacetyl-L-prolyl (TFP) derivatives of extract of rat urine during 24 hours after administration of *l*-deprenyl (A) and blank rat urine (B).

뚜렷하게 관찰되어 대사체로서 *I*-AM 및 *I*-MA이 배설됨을 알 수 있었으며(Fig. 4(A)), 이 부근에서 blank 노출에서 유래된 간접물질의 방해 피크는 관찰되지 않았다(Fig. 4(B)). 이들 대사체를 확인하기 위하여 실시한 GC/MS결과는 Fig. 5와 같다. (A)는 *I*-TFP-*I*-AM 및 *I*-TFP-*d*-AM, (B)는 *I*-TFP-*I*-MA 및 *I*-TFP-*d*-MA의 mass spectrum과 이들의 개별양식을 나타낸 것이다. AM의 경우 phenylpropane group의 β개열에 의한 fragment ion m/z 237이, MA에서는 m/z 251이 관찰되었고, 유도체시약에서 유래하는 fragment ion인 m/z 194 및 m/z 166이 AM 및 MA에서 모두 관찰되었다. 이들 AM과 MA의 *d*체 및 *I*체간의 검출이온의 강도차는 없었으며, 이성체간의 검출되는 이온은 서로 같았다. 한편 Fig. 4(A)에서 8.5분과 11.8분의 작은 피크가 관찰되어 *I*-TFP-*d*-AM 및 *I*-TFP-*d*-MA의 검출시간과 일치하였으나 이는 저자¹⁹⁾ 등의 보고에서와 같이 *I*-TFP에 불순물로서 함유되어 있는 *d*-TFP가 *I*-AM 및 *I*-MA와 반응하여 생성된 것으로 생각되었다. 이들은 *I*-TFP에 의하여 생성되는 *I*-TFP-*d*-AM 및 *I*-TFP-*d*-MA과 거울상이성체로서 본 실험조건에서는 분리되지 않아 본 실험에서는 AM 및 MA의 *I*체 및 *d*체를 따로 검량선을 작성하여 분석결과에 미치는 영향을 최소화하였다. 이들 이성질체를 각각 분리하기 위해서는 키랄형 칼립을 사용하면 가능할 것으로 사료된다. 불순물인 *d*-TFP에 의하여 생성되는 피크는 검량선에서도 관찰되었

는데, 면적비를 계산하여 보았을 때 *I*-TFP-*I*-AM에 대한 *d*-TFP-*I*-AM이 평균 $6.5 \pm 0.2\%$ ($N=2$), *I*-TFP-*I*-MA에 대한 *d*-TFP-*I*-MA이 평균 $2.8 \pm 0.1\%$ ($N=2$)였다. 한편, 24시간 동안 채취한 뇌시료에서의 경우 *I*-TFP-*I*-AM에 대한 *d*-TFP-*I*-AM체의 평균면적이 $5.0 \pm 1.2\%$ ($N=5$), *I*-TFP-*I*-MA에 대한 *d*-TFP-*I*-MA의 평균면적이 $3.1 \pm 1.0\%$ ($N=2$)으로서 검량선에서 검출된 양과 그 양이 서로 유사하였다. 따라서 Fig. 4(A)에서의 8.5분과 11.8분의 작은 피크는 *I*-deprenyl의 대사체로서 검출되는 *I*-AM 및 *I*-MA가 autoracemization에 의하여 생성된 *d*체의 AM 및 MA가 *I*-TFP와 반응하여 검출되었다기 보다는 불순물인 *d*-TFP가 *I*-AM 및 *I*-MA와 반응하여 생성된 것임을 알 수 있었다. *I*-TFP에 들어있는 불순물인 *d*-TFP에 대한 보고는 많이 있는데, 저자 등¹⁹⁾은 10종의 *d*체의 메스암페타민 분말을 *I*-TFP로 유도체화하여 GC로 분석하였을 때 *d*-TFP에 의하여 2.4~3.8%의 *d*-TFP-*d*-MA가 함께 검출되었다고 보고하였으며, Fitzgerald 등¹⁸⁾도 1.2%의 *d*체가 함유된 *I*-TFP를 사용하여 *d*-MA를 유도체화하였을 때 *I*-TFP-*d*-MA에 대하여 $2.6 \pm 1.1\%$ 의 *d*-TFP-*d*-MA가 함께 검출되었다고 보고한 바 있다. 이와 같이 *I*-TFP는 불순물로 존재하는 *d*-TFP의 영향으로 AM 및 MA의 enantiomer가 검출될 수 있기 때문에 유도체화 과정에 사용하는 시약의 순도를 반드시 확인하여야 하며 가능한 한 순도가 높은 시약을 사용하는 것이 필요할 것으로 사료된다.

GC에 의한 MA 및 AM의 정량 – Table I과 II는 환경에 *I*-deprenyl 투여후 24시간 및 48시간동안 채취한

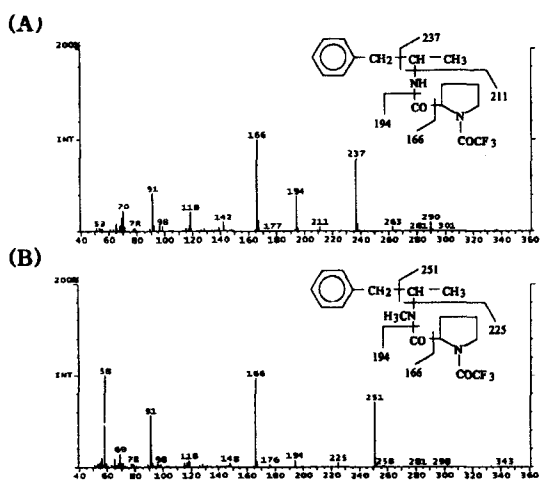


Fig. 5 – Mass spectra of (A) *I*-TFP-*I*-& *d*-amphetamine (AM) and (B) *I*-TFP-*I*-& *d*-methamphetamine (MA) derivatives.

Table I – Urinary excretion of *I*-amphetamine and *I*-methamphetamine after administration of *I*-deprenyl (10 mg/kg) to rat during 24 hours

Num- ber	pH	Volume (ml)	<i>I</i> -Amp- hetamine excretion		AM/ MA ratio
			mg	mg	
1	8.37	14	0.034	0.020	1.9
2	8.57	9	0.033	0.026	1.4
3	7.34	8.5	0.049	0.015	3.6
4	8.46	14.5	0.072	0.032	2.4
5	8.63	19	0.041	0.033	1.3
6	8.25	9	0.031	0.019	1.8
7	8.47	13.5	0.050	0.020	2.7
8	8.65	12.5	0.042	0.037	1.2
	–	12.5	0.044	0.025	1.87

Table II — Urinary excretion of L-amphetamine and L-methamphetamine after administration of L-deprenyl (10 mg/kg) to rat during 24~48 hours

Num- ber	pH	Volume (ml)	L-Amp- hetamine excretion	L-Methamp- hetamine excretion	AM/ MA ratio
			mg	mg	
1	7.86	12.8	—	—	—
2	8.40	11.6	—	—	—
3	8.04	11	0.0019	—	—
4	8.46	16.7	0.0017	—	—
5	8.35	17.2	—	—	—
6	8.45	19.3	0.0015	—	—
7	8.08	10.4	—	—	—
8	8.51	12.5	—	—	—

뇨의 액성(pH), 농량(volume) 및 이에 따른 L-AM과 L-MA의 배설량 및 이들의 비율을 나타낸 것이다. L-deprenyl 10 mg/kg 투여후 24시간 동안 채취한 뇨에서(N=8) 뇨의 액성은 7.34~8.65로 중성에서 약 알칼리성이었고, 농량은 8.5~19 ml로 평균 12.5 ml이었으며, 시료에서 모두 L-AM 및 L-MA가 검출되었다. 24시간 동안의 총 배설량은 L-AM의 경우 0.031~0.072 mg으로 평균 0.044 mg이 배설되었으며, L-MA은 0.015~0.037 mg으로 평균 0.025 mg이 배설되었다. 이들 대사체의 비율을 L-MA에 대한 L-AM의 비율로 계산하여볼 때 1.1~3.3(평균 1.87)으로 L-AM이 L-MA보다 많이 배설되었음을 알 수 있었다(Table I). 24~48시간 동안 채취한 뇨에서는 L-AM만이 검출되었으며(N=3), L-AM의 총 배설량은 0.0015~0.0019 mg이었고, L-MA는 검출되지 않았다(Table II). 또한 48~72시간 동안의 뇨에서는 L-AM 및 L-MA 모두 검출되지 않아 L-deprenyl 투여후 MA와 AM로의 대사와 배설은 48시간 이내에 일어남을 알 수 있었다.

Tanaka 등²⁰⁾은 쥐에게 L-deprenyl 10 mg/kg 경구 투여한 후 24시간동안 채취한 뇨에서 L-AM 및 L-MA만이 검출되었으며, AM/MA양의 비는 0.9이었고 d-AM 및 d-MA은 검출되지 않았다고 보고하였다. 본 실험에서도 L-deprenyl 투여후 대사체로서 L-AM 및 L-MA만이 검출되어 autoracemization은 일어나지 않았음을 확인할 수 있었다. 대사체로서 뇨중에 MA 또는 AM이 배설될 수 있는 약물로는 L-deprenyl이외에도 진통제인 famprofazone과 식욕억제제인 dl-furfenorex 등을 들 수 있다.^{20, 21)} 신 등²²⁾은 L-deprenyl 10 mg을 복용한 사람의 뇨에서 L-AM 및 L-MA가 검출되

었으며 대사과정중 어떤 racemization은 일어나지 않았다고 하였으며, AM과 MA의 거울상이성질체들의 조성비를 통하여 약물의 불법 남용과 치료적 사용의 구별을 판단해야 한다고 하였다.

본 연구에서는 우선 쥐에서의 L-deprenyl의 대사체를 분석하여보았으나 본 실험결과가 사람에서의 L-deprenyl 대사와 일치하기는 어려우므로, 앞으로 사람에서의 대사체분석을 통하여 이들 약물이 불법 약물 스크리닝 방법인 효소면역시험에서 메스암페타인 불법남용자와는 어떻게 다르게 반응하는가를 살펴보아야 할 것이다. 또한 실제 파킨슨씨 병으로 장기적으로 L-deprenyl을 복용하고 있는 환자들의 뇨를 채취하여 이들 대사체로서의 L-AM 및 L-MA의 변화를 살펴보고 메스암페타민 불법남용자에서 약물대사과정과 비교하여 다른점을 알아보는 것도 약물의 불법 남용과 치료목적으로서의 구별을 위하여 매우 중요하므로 이들에 대하여는 앞으로 계속적인 연구가 진행되어야 할 것이다.

결 론

파킨슨씨병 치료제인 L-deprenyl을 흰쥐에 투여후 뇨중 대사체인 MA 및 AM의 거울상이성체를 GC로 분석한 결과 다음과 같은 결론을 얻었다.

1. d 및 L-AM과 MA은 L-TFP유도체화 한 후 AT-35 column의 GC에서 양호하게 분리되었다.
2. L-deprenyl 10 mg/kg 투여후 24시간동안 채취한 뇨에서 L-AM과 L-MA만이 검출되었고, d-AM과 d-MA는 검출되지 않았으며 이때 L-AM/L-MA양의 비는 1.1~3.3 이었다. 24~48시간 동안 채취한 뇨중 3개의 시료에서 L-AM만이 검출되었고, L-MA는 검출되지 않았다. 그 이후에 채취한 뇨에서는 L-AM 및 L-MA 모두가 검출되지 않았다.

문 헌

- 1) Ambrozi, L., Birkmayer, W., Reiderer, P. L., Youdim, M. B. H.: Implications of combined treatment with Medopar & L-deprenyl in Parkinson's disease. *Lancet* 1, 439 (1977).
- 2) Elaworth, J. D., Kohout, L. J., Lees, A. J., Shaw, K. M., Sandler, M., Stern, G. M., Youdim, M. B. H.: Deprenyl in Parkinson's disease. *Lancet* 2, 791

- (1977).
- 3) Giovanni, P., Martignoni, E., Piccolo, I. : (-)De-prenyl in parkinson's disease: a two year study in different evolutive stages. *Journal of Neural Transmission* **22**(Suppl.), 235 (1986).
 - 4) Heinonen, E. H., Myllyla, V., Sotaniemi, K., Lammintausta, R., Salonen, J. S., Anttila, M., Savijarvi, M., Kotila, M. and Rinne, U. K. : Pharmacokinetics and metabolism of selegiline. *Acta Neural Scand.* **126**, 93 (1989).
 - 5) Jenner, P. and Testa, B. : The influence of stereochemical factors on drug disposition. *Drug Metabolism Reviews* **2**, 117 (1973).
 - 6) Cody, J. T. and Schwarzhoff, R. : Interpretation of methamphetamine and amphetamine enantiomer data. *Journal of Analytical Toxicology* **17**, 321 (1993).
 - 7) Wainer, I. W. and Doyle, T. D. : Application of high performance liquid chromatographic chiral stationary phase to pharmaceutical analysis. Direct enantiomeric resolution of amide derivatives of 1-phenyl-2-aminopropane (amphetamine). *J. Chromatogr.* **259**, 465 (1983).
 - 8) Crowther, J. B., Covey, T. R., Dewey, E. A. and Henion, J. D. : Liquid chromatographic mass spectrometric determination of optically active drugs. *Anal. Chem.* **56**, 2921 (1984).
 - 9) Wainer, I. W., Doyle, T. D. and Adams, W. M. : Liquid chromatographic chiral stationary phase in pharmaceutical analysis: Determination of trace amounts of the (-)-enantiomer in (+)-amphetamine. *J. Pharm. Pharmacol.* **73**, 1162 (1984).
 - 10) Liu, J. H. and Ku, W. W. : Determination of enantiomeric N-trifluoroacetyl-L-prolyl chloride amphetamine derivatives by capillary gas chromatography/mass spectrometry with chiral and achiral stationary phase. *Anal. Chem.*, **543**, 2180 (1981).
 - 11) Liu, J. H., Ku, W. W., Tsay, J. T., Fitzgerald, M. P. and Kim, S. : Approaches to drug sample differentiation. III: A comparative study of the use of chiral and achiral capillary column gas chromatography/mass spectrometry for the determination of methamphetamine enantiomers and possible impurities. *J. Forensic Sci.* **27**, 39 (1977).
 - 12) Clark, C. R. and Barksdale, J. M. : Synthesis and liquid chromatographic evaluation of some chiral derivatizing agents for resolution of amine enantiomers. *Anal. Chem.* **56**, 958 (1984).
 - 13) Miller, K. J., Gal, J. and Ames, M. M. : High performance liquid chromatographic resolution of enantiomers of 1-phenyl-2-aminopropanes (amphetamines) with four chiral reagents. *J. Chromatogr.* **307**, 335 (1984).
 - 14) Noggle, F. T. Jr., DeRuiter, J. and C. R. : Liquid chromatographic determination of the enantiomeric composition of amphetamine prepared from norephedrine and norpseudoephedrine. *J. Chromatogr. Sci.* **25**, 38 (1987).
 - 15) Gordis, E. : Gas chromatographic resolution of optical isomers in microgram samples of amphetamine. *Biochem. Pharm.* **15**, 2124 (1966).
 - 16) Gunne, L. M. : The urinary output of *d*- and *l*-amphetamine in man. *Biochem. Pharm.* **16**, 863 (1967).
 - 17) Jori, A., Caccia, S. and DePonte, P. : Differences in the availability of *d*- and *l*-enantiomers after administration of racemic amphetamine to rats. *Xenobiotica* **8**, 589 (1978).
 - 18) Fitzgerald, R. L., Ramos, J. M. Jr., Bogema, S. C. and Poklis, A. : Resolution of methamphetamine stereoisomers in using drug testing: Urinary excretion of R(-)-methamphetamine following use of nasal inhalers. *J. Anal. Toxicol.* **12**, 255 (1988).
 - 19) 유영찬, 정희선, 최화경, 김은미, 김선춘, 김미경 : 우리나라에서 남용 되는 메스암페타민의 거울상 이성질체 분리, 약학회지 **41**(3), 272 (1997).
 - 20) Tanaka, K., Ohmori, T. and Inoue, T. : Gas chromatographic analysis of optical isomers of mathamphetamine and amphetamine in urine. 科學警察研究所報告 **43**(4), 11 (1990).
 - 21) Yoo, Y. C., Chung, H. S. and Choi H. K. : Urinary methamphetamine concentration following famprofazone administration. *J. Anal. Toxicol.* **18**, 265 (1994).
 - 22) 신호상, 박종세 : 대사체들의 거울상체비를 이용한 불법 약물남용과 치료용 약 사용의 구별. 한국생화학회지 **26**(8), 741 (1993).